УДК 544.473-039.63-386: 66.0944.373:547.284.4

ГОМОГЕННЫЕ КАТАЛИЗАТОРЫ ОКИСЛИТЕЛЬНО-ВОССТАНОВИТЕЛЬНЫХ ПРОЦЕССОВ НА ОСНОВЕ РАСТВОРОВ ГЕТЕРОПОЛИКИСЛОТ

I. Результаты пилотных испытаний катализатора и процесса синтеза метилэтилкетона

© 2014 г. К.И. Матвеев, Е.Г. Жижина, В.Ф. Одяков, В.Н. Пармон Институт катализа им. Г.К. Борескова СО РАН, г. Новосибирск

Введение

Метилэтилкетон (МЭК) является крупнотоннажным продуктом основного органического синтеза. Он используется в производствах полиуретановых лаков и пенопластов, как растворитель различных красок (включая типографские), эпоксидных смол и полихлорвинила, а также является лучшим депарафинизатором смазочных масел и моторных топлив, обеспечивая возможность их использования даже в условиях сильных морозов. Производство МЭК в мире превышает 1 млн т/год.

Тем не менее до настоящего времени нет достаточно простых, экологически безопасных и экономичных способов синтеза МЭК [1]. Еще в 1959 г. был предложен способ синтеза МЭК прямым окислением n-бутенов на гомогенном катализаторе — водном растворе ($PdCl_2 + CuCl_2$) [2]. На таком хлоридном катализаторе низшие олефины C_2 — C_4 легко окислялись в карбонильные соединения: этилен в ацетальдегид, пропилен в ацетон, n-бутены в МЭК. Однако если при получении ацетальдегида и ацетона селективность процесса была не менее 92 %, то при получении МЭК она не превышала 75 % в связи с побочным образованием диацетила и хлорированных

кетонов [3]. В связи с этим предложенный способ получения МЭК оказался неэкологичным и неэкономичным и потому не был реализован в промышленности.

С начала 1970-х гг. и по сей день в Институте катализа (ИК) СО РАН проводятся исследования по использованию растворов Мо-V-фосфорных гетерополикислот (ГПК) в составе катализаторов окисления различных органических соединений кислородом [4, 5]. Результатом исследований, в частности, стала разработка гомогенного бесхлоридного катализатора синтеза МЭК, представляющего собой водный раствор комплекса Pd(II) и ГПК-х, где ГПК-х — Мо-V-Р кислота структуры Кеггина, имеющая состав $H_{3+x}PV_xMo_{12-x}O_{40}$ ($x = 3 \div 6$) [6, 7]. На таком катализаторе синтез МЭК проводится в две стадии (1) + (2), осуществляемые в разных реакторах. В 1-м реакторе происходит окисление н-бутена раствором ГПК-х, которая при этом восстанавливается до $H_m\Gamma\Pi K$ -x, где m — число образовавшихся атомов ванадия(IV) или число электронов, принимаемых раствором ГПК-х:

$${}^{m}/_{2}H-C_{4}H_{8}+\Gamma\Pi K-x+$$

$$+{}^{m}/_{2}H_{2}O \xrightarrow{Pd^{11}} {}^{m}/_{2}CH_{3}COC_{2}H_{5}+H_{m}\Gamma\Pi K-x. \quad (1)$$

Во 2-м реакторе происходит регенерация окисленной формы ГПК-х кислородом воздуха:

Матвеев К.И. – д-р хим. наук, бывший сотрудник ИК СО РАН **Жижина Е.Г.** – д-р хим. наук, ведущий науч. сотрудник. E-mail: zhizh@catalysis.ru

Одяков В.Ф. – канд. хим. наук, науч. compyдник. E-mail: odkv@catalysis.ru **Пармон В.Н.** – академик РАН, директор ИК СО РАН

$$H_m\Gamma\Pi K-x + {}^m/_4O_2 \to \Gamma\Pi K-x + {}^m/_2H_2O.$$
 (2)

Важно отметить, что в растворах ГПК-x редокспревращениям $V(V) \leftrightarrow V(IV)$ подвергаются только атомы ванадия.

Таким образом, суммарный каталитический процесс (3) реализуется в режиме нестационарного катализа в две стадии (1) + (2). При этом реакция (1), отпарка образовавшегося МЭК и регенерация катализатора по реакции (2) составляют один каталитический цикл (или проход) суммарной реакции (3).

$$\mu$$
-C₄H₈ + $^{1}/_{2}$ O₂ $\xrightarrow{\text{Pd} + \Gamma \Pi \text{K-}x}$ CH₃COC₂H₅. (3)

Разработанный нами процессе (3) отличается высокой экологичностью в связи с отсутствием образования хлорорганических соединений. Двухстадийное проведение процесса в разных реакторах обеспечивает взрывобезопасность суммарного процесса (3), поскольку исключается непосредственный контакт *н*-бутиленов с кислородом.

Процесс (3) аналогичен промышленному процессу получения ацетальдегида окислением этилена на хлоридном катализаторе ($PdCl_2 + CuCl_2$), разработанному фирмой Wacker [2] и реализованному в 1961—1965 гг. на Омском заводе синтетического каучука (ОЗСК) с мощностью производства 100 тыс. т ацетальдегида в год. Важно отметить, что как CuCl₂ в составе хлоридного катализатора ($PdCl_2 + CuCl_2$), так и ГПК-х в составе бесхлоридного катализатора (комплекс Pd + ГПК-х) играют роль обратимо действующего окислителя (ОДО). В катализаторах типа (комплекс Pd(II) + ОДО) концентрация Pd намного меньше концентрации ОДО, поэтому в ходе реакции (1) палладий претерпевает множественные циклы окислительно-восстановительных превращений, восстанавливаясь при окислении н-С4Н8 и затем реокисляясь избытком ОДО.

После завершения лабораторной разработки состава катализатора ($Pd + \Gamma\Pi K$ -x) в 1987—1988 гг. на ОЗСК были проведены опытные работы по отработке технологии бесхлоридного процесса (3). В построенной для этих работ пилотной установке с проектной мощностью 100 кг МЭК в сутки были использованы трубчатые реакторы идеального вытеснения для обеих стадий (1) и (2). Реакторы работали соответственно при температурах 60 и 130—145 °С. Для опытных работ была приготовлена крупная опытная партия гомогенного катализатора (комплекс $Pd(\Pi) + Na_{1,2}\Gamma\Pi K$ -4), где $Na_{1,2}\Gamma\Pi K$ -4 — кислая

соль ГПК-4, имеющая состав $Na_{1,2}H_{5,8}PMo_8V_4O_{40}$. В качестве комплекса Pd(II) был использован его дипиколинатный (пиридин-2,6-дикарбоксилатный) комплекс (H_2O)Pd(dipic), где dipic²⁻ — анион дипиколиновой кислоты [8].

Анализ опытных работ на ОЗСК, подкрепленный предварительными результатами лабораторных исследований, показал следующее. На стадии (1) производительность катализатора ($Pd + \Gamma\Pi K - x$) определяется концентрацией $\Gamma\Pi K - x$ в растворе и числом электронов m, которое может принять молекула $\Gamma\Pi K - x$ при условии сохранения гомогенности катализатора. На стадии (2) эффективность регенерации катализатора кислородом зависит от полноты протекания этой реакции и от ее скорости.

Главным достоинством катализатора (Pd + $Na_{1,2}\Gamma\Pi K$ -4) была высокая избирательность процесса (3) в отношении МЭК (96—98 %), принципиально недостижимая на хлоридном катализаторе (PdCl₂ + CuCl₂). Использованный в опытных работах комплекс [(H₂O)Pd^{II}(dipic)] имел более низкую каталитическую активность по сравнению с аквачоном Pd²⁺·aq [9]; тем не менее при повышении его концентрации приблизительно до $1,5\cdot10^{-2}$ М скорость бутиленовой реакции (1) была вполне приемлемой. Это обеспечило несомненные предпосылки для продолжения разработки промышленного МЭК-процесса (3).

Однако выявился и существенный недостаток катализатора, использованного в опытных работах 1987—1988 гг.: неполнота регенерации катализатора на стадии (2) и невысокая скорость этой реакции. Недоокисление катализатора на стадии (2) (его неполная регенерация) было большим и составляло 2,9 электрона в расчете на молекулу Na_{1.2}ГПК-4. Это стало причиной недостаточной производительности суммарного процесса (3) — 5—6 г МЭК/ $\pi_{\rm kar}$ за цикл. В результате стадия регенерации катализатора оказалась ключевой, поскольку именно она определяла возможность создания промышленного МЭК-процесса с участием растворов ГПК-х в качестве ОДО. Из-за низкой скорости регенерации растворов кеггиновских ГПК-х гомогенные катализаторы на их основе ($Pd + \Gamma \Pi K - x$) оказались нетехнологичными.

Таким образом, определяющим моментом в создании экономически приемлемого процесса (3) оказалась регенерация катализатора кислородом воздуха. Действительно, при полной регенерации (т.е. при достижении m=0) раствора $Na_{1,2}H_{5,8}PMo_8V_4O_{40}$ на следующем цикле процесса производитель-

ность катализатора на стадии (1) составила бы 21,6 г МЭК/л_{кат}, т.е. в четыре раза выше достигнутой. Кроме того, недостаточно высокая скорость реакции (2) даже при 145 °С потребовала бы обеспечения бо́льшего времени ее протекания во 2-м реакторе, что при конструкции использованного реактора оказалось невозможным.

В этой связи в целях оптимизации МЭК-процесса необходимо было разработать новый состав катализатора на основе ГПК, обеспечивающий возможность регенерации с достаточной скоростью при повышенных температурах (>145 °C). Однако в 1988 г. опытные работы по МЭК-процессу на ОЗСК были прекращены в связи с общей перестройкой всей промышленности СССР.

В начале 2000-х гг. мы вернулись к разработке технологии синтеза МЭК. Были получены модифицированные высокованадиевые растворы Мо-V-Р ГПК, обладающие высокой термической стабильностью, которые были использованы в составе катализаторов процесса (3) (см. ниже). С этими катализаторами можно было полнее и с большей скоростью проводить регенерацию катализатора при 160—170 °С. Были получены кинетические данные для реакций (1) [10, 11] и (2) [12, 13], использованные для расчета реакторов пилотной установки синтеза МЭК. За проведение новых опытных работ взялась фирма «Синтез-Инжиниринг» (г. Дзержинск Нижегородской области).

В настоящей статье приводятся результаты проделанных при этом работ.

Состав модифицированного катализатора МЭК-процесса

Устойчивость гомогенного катализатора (Pd + $\Gamma\Pi K$ -x) определяется двумя факторами: 1) устойчивостью растворов $\Gamma\Pi K$ -x при повышенных температурах и 2) устойчивостью гомогенизированных соединений палладия в восстановленном катализаторе (Pd + $H_m\Gamma\Pi K$ -x).

Ниже мы последовательно рассмотрим влияние этих факторов на стабильность катализатора синтеза МЭК.

Об устойчивости растворов ГПК-х при повышенных температурах

Концентрированные ($\geq 0,2$ М) растворы высокованадиевых ГПК-x со структурой Кеггина ($x \geq 4$) могли бы стать высокопроизводительными катали-

заторами МЭК-процесса. Однако такие растворы оказались неустойчивыми к гидролизу. Лабораторные исследования показали, что при длительной работе эти растворы постепенно выделяют ванадийсодержащие осадки [11]. Состав этих осадков приблизительно соответствует гидратированному пентоксиду ванадия V_2O_5 ·q H_2O , который образуется за счет деградации кеггиновских ГП-анионов по реакциям (4) и (5) [14]:

$$(13-x) [H_{x-1}PV_{x}^{V}Mo_{12-x}O_{40}]^{4-} + 16H^{+} \longleftrightarrow (анион \Gamma\Pi A-x)$$

$$\longleftrightarrow (12-x) [H_{x-2}PV_{x-1}^{V}Mo_{13-x}O_{40}]^{4-} + (анион \Gamma\Pi A-(x-1))$$

$$+ 12VO_{2}^{+} + H_{3}PO_{4} + 12H_{2}O, \tag{4}$$

$$2VO_2^+ + (q+1)H_2O \longrightarrow V_2O_5 \cdot qH_2O \downarrow + 2H^+.$$
 (5)

Для обеспечения достаточной гидролитической устойчивости при повышенных температурах в начале 2000-х гг. нами были разработаны модифицированные составы высокованадиевых растворов ГПК общей формулы $H_a P_z Mo_v V_{x'} O_b$ (ГПК-x'), в которых $x' \ge 6$ и $z = 2 \div 4$ [17]. Лабораторные исследования показали, что такие растворы обеспечивают высокую производительность целевой реакции (1), могут быть довольно быстро регенерированы по реакции (2) при 150-170 °C и обеспечивают достаточно длительную, по крайней мере в несколько месяцев, работу без образования осадков. Методами ЯМР на ядрах 31 Р и 51 V было показано, что растворы высокованадиевых ГПК-х' содержат тот же набор $\Gamma\Pi$ -анионов $[H_{x-1}PV_x^VMo_{12-x}O_{40}]^{4-}$, что и растворы кеггиновских ГПК-х, но при повышенной общей концентрации Н₃РО₄ [18].

Для опытных работ в Дзержинске в качестве $\Gamma\Pi K$ -x' был выбран 0,25 M раствор брутто-состава

 $H_{12}P_3Mo_{18}V_7O_{85}$ (ГПК-7'). В таком растворе мольное соотношение V: Рравно 2,33, а средний состав содержащихся в нем ГП-анионов соответствует формуле $HPMo_{10}V_2O_{40}^{4-}$ (V : P = 2) [18]. Это свидетельствует о том, что в растворе ГПК-7′ 86 % ванадия находится в виде $\Gamma\Pi$ -анионов $[H_{x-1}PV_x^VMo_{12-x}O_{40}]^{4-}$ и только 14% — в виде свободных оксокатионов VO_2^+ . Для сравнения отметим, что, например, в растворе кеггиновской ГПК-4 ($H_7PV_4Mo_8O_{40}$) мольное соотношение V : P = 3,33, а средний состав $\Gamma\Pi$ -анионов — $H_2 P Mo_9 V_3 O_{40}^{4-}$ (V : P = 3) [16]. При одинаковой концентрации растворы ГПК-х' имеют более высокую кислотность, чем растворы ГПК-х. Кроме того, за счет повышенной концентрации Н₃РО₄ равновесие (4) в них меньше сдвинуто вправо, чем в растворах кеггиновских ГПК-х.

Начальная величина pH (pH₀) синтезированных растворов $\Gamma\Pi K$ -x' была близкой к нулю [19]. Известные диаграммы состояния $-\lg[V(V)] = f(pH)$ [20] свидетельствуют, что при pH ≈ 0 катионы VO_2^+ устойчивее, чем при более высоких pH, и потому могут не образовывать осадков V_2O_5 · qH_2O . Таким образом, присутствие избыточной H_3PO_4 стабилизирует катионы VO_2^+ в растворах модифицированных $\Gamma\Pi K$ -x', обеспечивая возможность быстрой регенерации катализаторов на их основе при более высоких температурах по сравнению с растворами кеггиновских $\Gamma\Pi K$ -x.

Об устойчивости гомогенных соединений палладия в восстановленном катализаторе (Pd + H_mГПК-х)

Реакция (1), при которой образуется МЭК, является сложной и включает, в частности, стадии (6) и (7) [12]:

$$H-C_4H_8 + Pd^{2+} + H_2O \rightarrow CH_3COC_2H_5 + Pd^0 + 2H^+, (6)$$

$$Pd^{0} + \frac{2}{m}\Gamma\Pi K - x' + mH^{+} \longrightarrow Pd^{2+} + \frac{2}{m}H_{m}\Gamma\Pi K - x'.$$
 (7)

При этом для эффективного протекания процесса (1) необходимо выполнение соотношения (8) между текущими (формальными) значениями редокс-потенциалов (E) компонентов, входящих в состав катализаторов ($Pd + \Gamma\Pi K - x'$):

$$E_{\Gamma\Pi K-x'/H_m\Gamma\Pi K-x'} > E_{Pd^{2+}/Pd^0} > E_{M\ni K/n-C_4H_8}.$$
 (8)

Поскольку концентрация Pd ($\approx 10^{-3}$ M) в гомогенных катализаторах существенно ниже концентрации $\Gamma\Pi K$ -x' (0,2—0,25 M), то редокс-потенциал этих

катализаторов ($E_{\rm кат}$) определяется редокс-потенциалом раствора ГПК-x' ($E_{\Gamma\Pi K-x'/H_m\Gamma\Pi K-x'}$), а точнее — редокс-потенциалом системы ${\rm VO}_2^+/{\rm VO}^{2+}$, которая находится в равновесии с ГП-анионами [13]. Благодаря высокой концентрации ${\rm H}^+$ -ионов значение $E_{\rm кат}$ для модифицированных растворов ГПК-x' выше, чем значение $E_{\rm кат}$ для растворов кеггиновских ГПК-x в соответствии с уравнением Нернста (9) для системы ${\rm VO}_2^+/{\rm VO}^{2+}$:

$$E = E^{0} + \frac{RT}{F} \cdot \ln \frac{[VO_{2}^{+}] \cdot [H^{+}]^{2}}{[VO^{2+}]},$$
 (9)

где R — универсальная газовая постоянная; T — абсолютная температура; F — число Фарадея.

Для растворов ГПК-x' начальное значение $E_{\rm кат}$ составляет \approx 1,0 В [19], что примерно равно стандартному редокс-потенциалу системы ${\rm VO}_2^+/{\rm VO}^{2+}$ ($E^0=1,00$ В, здесь и далее относительно НВЭ) [21]. Оно свидетельствует о высокой равновесной концентрации катиона ${\rm VO}_2^+$ в исходных растворах ГПК-x'. В ходе протекания реакции (1) значение $E_{\rm кат}$ уменьшается примерно до 0,6 В [11].

На основании кинетических исследований реакции (1) [10, 11], в которой бутен-1 окислялся раствором (Pd + $\Gamma\Pi K$ -x) при 30—60 °C, был сделан вывод о том, что в этой реакции работает система Pd_2^I/Pd_2^0 , а не хорошо известная система Pd²⁺/Pd_{мет} [22]. При этом окисленная форма палладия находится в формальной степени окисления +1. Поскольку на модифицированном катализаторе (Pd + $\Gamma\Pi K$ -x') реакция (1) протекает достаточно глубоко (восстановление V(V) в V(IV) происходит до значений $m = 6.7 \div 6.8$, т.е. на 96-97 %), был сделан вывод о том, что величина $E_{\mathrm{Pd}^{\,\mathrm{I}}/\mathrm{Pd}^{\,\mathrm{0}}_{\,\mathrm{2}}}$ значительно меньше, чем $E_{\mathrm{Pd}^{\,\mathrm{2+/Pd}_{\mathrm{Mer}}}}$, и составляет ≈0,6 В [11]. При более низком значении потенциала раствора ГПК-х' реакция (1) прекращается, поскольку ГПК-х' перестает окислять восстановленный палладий. Таким образом, в работающем катализаторе ($Pd + \Gamma \Pi K - x'$) палладий находится в виде комплекса Pd_2^{2+} [10].

Было замечено, что если после проведения реакции (1) длительное время не окислять восстановленный катализатор ($Pd + H_m\Gamma\Pi K-x'$), то из него постепенно выпадает металлический палладий в виде зеркала, покрывающего внутреннюю поверхность реактора. Однако после окисления восстановленного катализатора воздухом металлическая пленка быстро исчезает за счет растворения палладия в окисленном растворе $\Gamma\Pi K-x'$. При этом весь палладий вновь переходил в раствор.

Сводная таблица характеристик материалов, прошедших коррозионные испытания в присутствии катализатора (Pd + CoPcSO₃H + ГПК) при 160 °C. Состав катализатора: $[H_{10}P_3Mo_{18}V_7O_{84}] = 0.25 \text{ M}$; $[Pd^{2+}] = 6.10^{-3} \text{ M}$; $[CoPcSO_3H] = 9.10^{-3} \text{ M}$

Образец, марка, номер	Площадь поверхности образца, мм ²	Длительность испытаний, ч	Скорость коррозии,		Показатель
			г·м²/(ч·10²)	мм/(год·10 ²)	и балл стойкости
Хостеллой С (ХН65М8)	961	81,33	-45,4	-40,9	(6) пониженностойкий
12X18H10T, № 1	1038	20,00	-8,70	-7,83	(5) стойкий
12Х18ШОТ, № 2	1121	20,00	-9,80	-8,82	
X17H13M2T, № 1	895	161,42	-9,62	-8,60	(4) стойкий
X17H13M2T, № 2	888	120,25	+21,63	+19,34	
06ХН28МДТ (ЭИ-943), № 1	743	61,33	-5,70	-5,13	(4) стойкий
06ХН28МДТ (ЭИ-943), № 2	717	61,33	-2,50	-2,25	
Титан, № 1	958	100,25	+3,96	+7,13	(2) весьма стойкий
Титан, № 2	1001	100,25	+4,78	+8,60	

Очевидно, что в процессе отпарки МЭК из восстановленного раствора катализатора переход $Pd_2^0 \rightarrow Pd_{MET}$ при $100\,^{\circ}\text{C}$ мог бы ускориться. Чтобы избежать этого, мы предложили стабилизировать палладий дисульфофталоцианином кобальта (CoPcSO₃H) [17].

Из проведенного анализа устойчивости обоих компонентов катализатора (Pd + $\Gamma\Pi$ K-7') следует, что в ходе опытных работ по отработке технологии МЭК-процесса необходимо следить как за редокспотенциалом раствора катализатора $E_{\rm kat}$, так и за концентрацией Pd в этом растворе. Метод контроля состояния катализаторов на основе растворов $\Gamma\Pi$ K-x по редокс-потенциалу был описан нами в работе [23].

В ходе подготовки к опытным работам было проведено исследование коррозионной стойкости ряда образцов спецсталей и других материалов (см. таблицу). Оказалось, что образцы сталей 06ХН28МДТ (ЭИ-943), X17Н13М2Т и 12Х18Н10Т при контакте с катализатором (Pd + CoPcSO₃H + 0,25 М ГПК-7') являются коррозионностойкими: при 160 °С скорость их коррозионностойкими: при 160 °С скорость их коррозии не превышает 0,09 мм в год. В то же время известный сплав Хостеллой С (ХН65М8) оказался недостаточно стойким: его коррозия в тех же условиях составила 0,4 мм/год. Металлический титан, хорошо зарекомендовавший себя при контакте с кислыми хлоридными катализаторами (PdCl₂ + CuCl₂), оказался столь же стойким и при

контакте с бесхлоридными катализаторами. Исследование коррозионной стойкости материалов позволило нам выбрать наиболее подходящие материалы для создания опытно-промышленной установки синтеза МЭК. Так, оба реактора (бутиленовый и воздушный) были изготовлены из титана, а другая аппаратура и запорная арматура выполнены в основном из стали X17H13M2T.

Опытно-промышленная установка

Для опытных работ 2005—2006 гг. в Дзержинске была спроектирована и построена опытно-промышленная установка (ОПУ) с расчетной производительностью 250—300 кг МЭК в сутки. Блок-схема этой установки представлена на рис. 1. Сырьем в опытных работах был жидкий α-бутилен. Целевую реакцию (1) осуществляли при 60°C и давлении 9 бар в трубчатом реакторе. Отделение МЭК от восстановленного катализатора проводили в пленочном испарителе (отпарной колонне) при 100 °C. Для регенерации катализатора на стадии (2) вместо трубчатого воздушного реактора идеального вытеснения, использованного в работах 1987—1988 гг., был сконструирован и построен реактор идеального смешения, эскиз которого изображен на рис. 2. Воздушный реактор работал при 160—190 °С и давлении 20 бар (парциальное давление кислорода 4 бар).

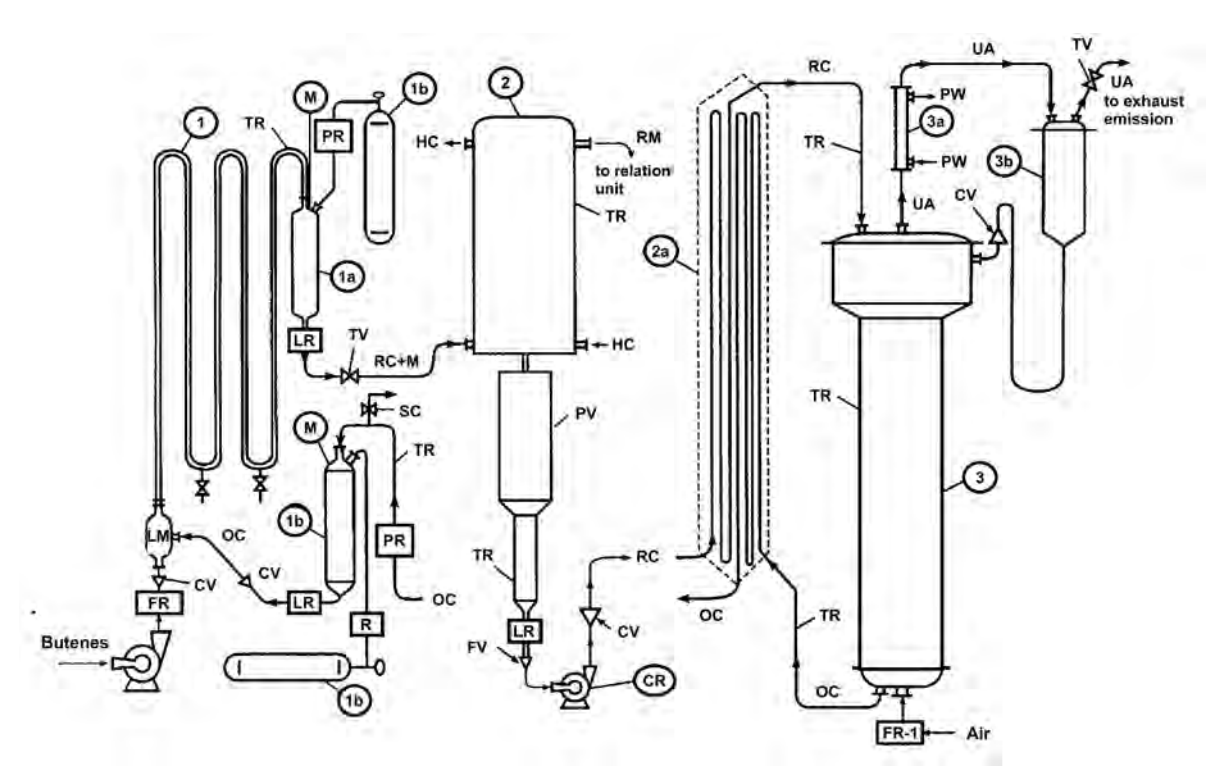


Рис. 1. Блок-схема опытно-промышленной установки:

- 1 бутиленовый реактор; 1a расширитель; 1b источники инертного газа (N_2) с давлением более 10 бар;
- 2 пленочный испаритель (отпарная колонна); 2a теплообменник труба в трубе и подогреватель ($t_{\rm max}$ = 190 °C);
- 3 воздушный реактор; 3a обратный холодильник; 3b ловушка; CP циркуляционный насос; CV обратные клапаны;
- FR регулятор расхода α -бутилена; FV поплавковый клапан; HC теплоноситель; LM фильеры; LR регулятор уровня;
- М манометр; ОС окисленный катализатор; PR регулятор давления; PV напорная емкость; PW техническая вода;
- R редуктор; RC восстановленный катализатор; RC + M восстановленный катализатор + MЭК; RM МЭК-сырец;
- SC пробоотборник; TR датчик температуры с записью; TV дросселирующий клапан; UA отработанный воздух

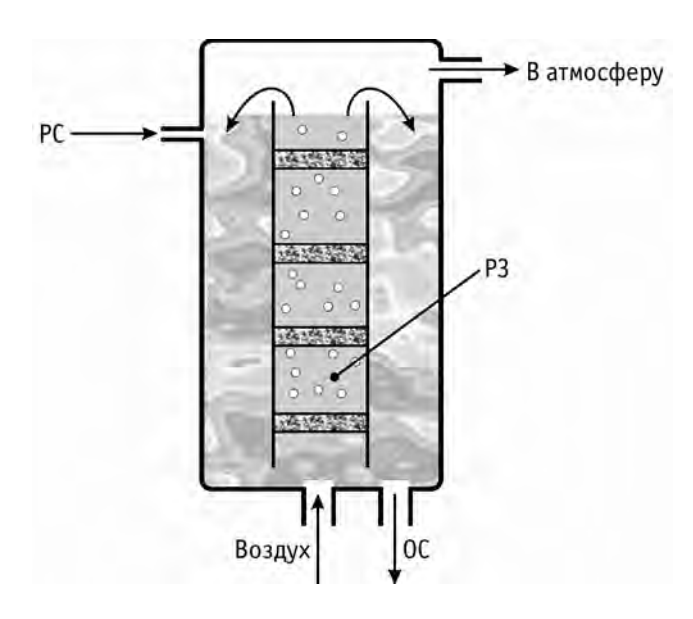


Рис. 2. Принципиальная схема воздушного реактора: PC – восстановленный катализатор; P3 – реакционная зона;

ОС – окисленный катализатор

Катализатор в опытной установке перемещался по замкнутому циклу, попадая после своей регенерации снова в реактор I на новый цикл каталитического процесса (3). Важно отметить, что, несмотря на двухстадийность процесса (3), съем целевого продукта (МЭК) в ОПУ происходил непрерывно.

Применительно ко всей ОПУ была разработана математическая модель работы катализатора (Pd + $CoPcSO_3H + \Gamma\Pi K-7'$).

Воздушный реактор состоял из двух вертикальных труб высотой около 10 м, коаксиально вставленных одна в другую. Реакционной зоной (РЗ) реактора является внутренняя труба, в которую снизу подается сжатый воздух. Межтрубное пространство является буферной зоной и соединено с РЗ в нижней части реактора. Выбранное соотношение объемов межтрубного пространства и РЗ составляло 4 и определялось соотношением диаметров внешней и внутренней труб 1,12:1.

Успешная работа обсуждаемого реактора воз-

можна только тогда, когда воздух образует с жидким катализатором газо-жидкостную смесь (ГЖС), в которой воздух находится в виде мелких пузырьков. Чтобы эти пузырьки не сливались в крупные, воздух подается через мелкие отверстия на дне РЗ диаметром ≤2 мм, а по всей высоте РЗ через равные промежутки установлены 24 тарелки с отверстиями. Каждая тарелка состоит из двух титановых сеток, расположенных в 60 мм одна от другой, и закрывает все «живое» сечение РЗ. Поскольку средняя плотность ГЖС меньше плотности раствора катализатора, возникает явление аэролифта, в результате которого ГЖС поднимается вверх и там теряет пузырьки воздуха. Отработанный воздух выбрасывается в атмосферу, а жидкий катализатор стекает в буферную зону, из которой вновь поступает в РЗ. Пузырьковый режим работы воздушного реактора успешно поддерживался в течение всего периода эксплуатации ОПУ.

К сожалению, в ходе конструкторских работ и строительства ОПУ был допущен ряд серьезных оплошностей. Во-первых, все приборы КИП, включая расходомеры и регуляторы расходов α-C₄H₈, сжатого воздуха и жидкого катализатора, были рассчитаны на расходы промышленного масштаба, в 2-4 раза превышающие реальные расходы на ОПУ. Изза этого все перечисленные расходы нельзя было ни контролировать, ни регулировать, т.е. они были лишь гипотетическими («предполагаемыми»). Кроме того, из схемы ОПУ был необоснованно исключен расширитель *la*. В этом аппарате, стоящем после бутиленового реактора 1, происходило бы отделение восстановленного жидкого катализатора (Pd + $+ H_m \Gamma \Pi K - 7'$), содержащего МЭК, от непрореагировавшего α-бутилена. В отсутствие расширителя непрореагировавший газ сразу поступал в пленочный испаритель 2, а из него — в атмосферу. При работе с чистым α - C_4H_8 выброс в атмосферу был невелик. Однако отсутствие этого аппарата не позволило работать на ОПУ с бутиленовыми фракциями, содержащими более 10 % бутана. Использование такого сырья сильно увеличило бы выбросы горючих газов и создало бы большие проблемы с точки зрения взрыво- и пожароопасности. Поэтому опытные работы с бутиленовыми фракциями на ОПУ в Дзержинске не проводились.

Помимо ОПУ в Дзержинске была построена установка для получения опытной партии гомогенного катализатора (Pd + CoPcSO₃H + Γ ПК-7′). На ней было синтезировано 1350 л катализатора, которым были заполнены все аппараты ОПУ.

Результаты опытных работ по синтезу МЭК

Опытные работы на ОПУ с небольшими перерывами длились несколько месяцев. Из восьми пробегов наиболее информативным был 6-й пробег, длившийся без перерывов 192 ч (8 сут). В этом пробеге через каждые 4 ч отбирались пробы жидкого катализатора (Pd + ГПК-7') в двух точках: окисленный катализатор — перед бутиленовым реактором I (см. рис. 1), восстановленный катализатор — перед теплообменником 2a. При этом к контролю работы ОПУ была привлечена аналитическая лаборатория фирмы «Синтез-Инжиниринг», сотрудники которой в отобранных пробах определяли концентрацию Pd и редокс-потенциал $E_{\text{кат}}$, зависящий от степени восстановления катализатора m.

Результаты 6-го пробега представлены на рис. 3. В этом пробеге «предполагаемый» расход α - C_4H_8 составил 1,5 кг/ч (горизонтальная пунктирная линия 5 вверху рис. 3). Фактический расход α - C_4H_8 можно оценить лишь по съему МЭК, выраженному кривой 3 и составившему 2,4 кг/ч. Сравнение кривых 5 и 3 показывает, что кривая 5 не отражает фактического расхода α - C_4H_8 , который в действительности был заметно выше. Ошибка в оценке расхода α - C_4H_8 могла достичь $\pm 24\%$.

Тем не менее опытные работы в целом показали, что режим нестационарного катализа в МЭК-процессе себя оправдал.

В лабораторных исследованиях у нас не было возможности оценить устойчивость стабилизатора палладия СоРсSO₃Н из-за отсутствия метода определения концентрации свободных катионов Co²⁺ в присутствии СоРсЅО₃Н. При проведении опытных работ было установлено, что это соединение окислилось раствором ГПК-7' («сгорело») практически за одни сутки еще на стадии обкатки ОПУ в присутствии раствора катализатора, т.е. без подачи α -C₄H₈ в реактор 1. Его окисление, очевидно, произошло в воздушном реакторе при 190 °С. Таким образом, опытные работы по МЭК-процессу, по существу, были проведены без стабилизатора палладия, т.е. на катализаторе (Pd + $\Gamma\Pi$ K-7'). Однако, несмотря на это, наблюдались лишь кратковременные периоды с потерей палладия раствором (Pd + $H_m\Gamma\Pi K-7'$), которые показаны на кривой 4 рис. 3.

В значительной мере эти потери удалось устранить путем проведения специальной процедуры возвращения Pd в раствор катализатора. Для этого в

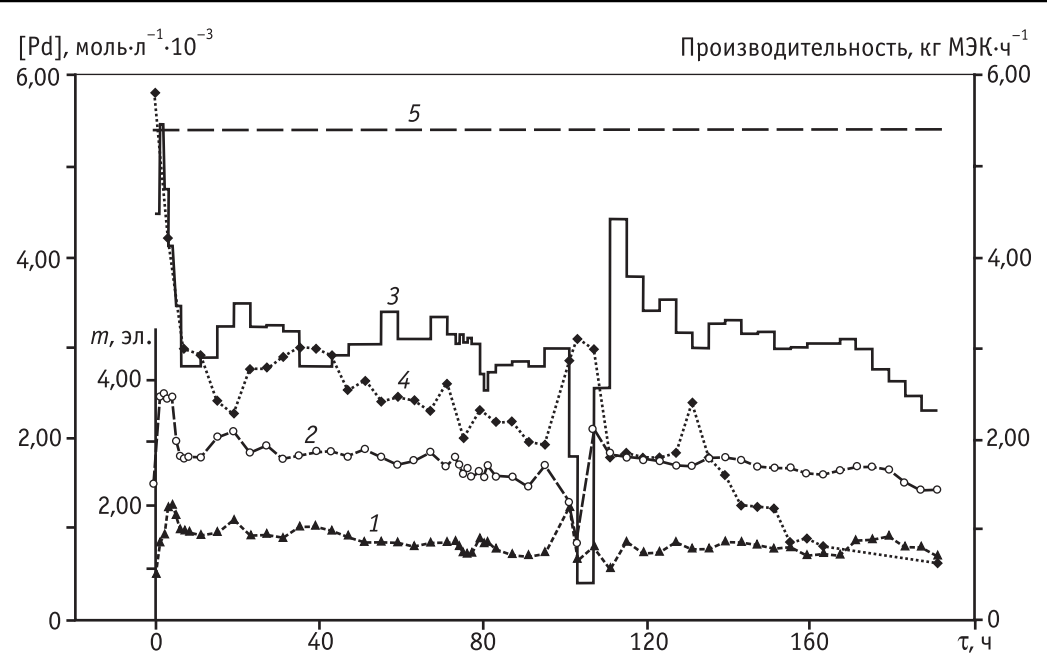


Рис. 3. Данные пробега № 6 на опытной установке по отработке МЭК-процесса:

 $1-m_1$ – число электронов на 1 моль ГПК в окисленном катализаторе; $2-m_2$ – число электронов на 1 моль ГПК в восстановленном катализаторе; 3 – производительность катализатора (Pd + ГПК) в ОПУ, кг МЭК/ч; 4 – концентрация Pd в гомогенном катализаторе, моль $\sigma^{-1}\cdot 10^{-3}$; 5 – теоретический выход МЭК, кг МЭК/ч, исходя из расхода α - C_4H_8 (по расходомерам)

одном из пробегов была прекращена подача α-бутилена в реактор 1, но продолжалась подача воздуха в воздушный реактор. Вследствие этого катализатор, непрерывно перемещаясь через всю ОПУ, продолжал окисляться в воздушном реакторе с повышением своего редокс-потенциала $E_{\rm кат}$. После 1,5-часовой циркуляции окисленного катализатора через ОПУ около 90 % «потерянного» палладия, осевшего на стенках аппаратуры, вернулось в раствор. Важный вывод о возможности растворения пленки Рd_{мет} окисленным раствором ГПК-7' был подтвержден нами в лабораторных исследованиях. Поскольку замкнутый цикл работы ОПУ исключает вынос катализатора за ее пределы, то можно практически полностью восстановить исходную концентрацию Pd в растворе катализатора (Pd + $\Gamma\Pi$ K-7').

Опытные исследования позволили также сделать вывод и о том, что регенерацию катализатора в воздушном реакторе осуществляли при слишком высокой температуре (190 °C), которая не гарантировала устойчивости раствора ГПК-7′. В результате в ходе опытных работ в растворе катализатора наблюдалось постепенное образование ванадийсодержащих осадков, что не наблюдалось в лабораторных исследованиях даже при проведении 30—40 циклов реакции (3). Образование в ходе опытных работ этих осадков приводило к снижению производительнос-

ти катализатора в целевой реакции (1) за счет снижения общей концентрации V(V) в растворе. Количество ванадия, потерянного раствором катализатора в ходе испытаний, оценено нами в $4-6\,\%$ от общего количества ванадия.

Обсуждение результатов опытных испытаний

Оптимален ли состав катализатора, использованного в ОПУ?

Рекомендованный для ОПУ катализатор МЭК-процесса (Pd + Γ ПК-7') согласно лабораторным данным обеспечивает высокую, не менее 97 %, селективность процесса в отношении синтеза МЭК. Однако в ходе опытных работ столь высокую селективность подтвердить не удалось вследствие, как оказалось, некорректного выбора пределов измерения установленных на ОПУ расходомера и регулятора расхода α -бутилена (см. выше).

В любом случае существенно, что в связи с отсутствием Cl⁻-ионов в составе катализатора образования токсичных хлорорганических соединений в МЭК-процессе не происходит.

Кроме того, по существу, в опытных работах в Дзержинске использовали катализатор, не содержащий стабилизаторов гомогенных соединений Pd.

Поэтому можно считать, что состав использованного нами катализатора ($Pd + \Gamma\Pi K$ -7') близок к оптимальному составу с точки зрения селективности процесса. К сожалению, в ходе опытных работ катализатор эксплуатировали, как выяснилось впоследствии, при слишком высокой температуре. Дополнительные лабораторные исследования показали, что предельно допустимой температурой устойчивости раствора $\Gamma\Pi K$ -7' являются 180 °C. При этом максимально допустимой температурой эксплуатации катализатора ($Pd + \Gamma\Pi K$ -7') следует считать 170 °C.

Вполне возможно, что в качестве эффективных катализаторов синтеза МЭК могут быть использованы модифицированные растворы, (Pd + W-ГПК-x'), где W-ГПК-x' — это Mo-V-Р ГПК-x', в которых часть Мо замещена на W. Есть основания полагать, что такие растворы могут обладать более высокой термической стабильностью, и поэтому могут оказаться вполне перспективными для использования в МЭК-процессе. Методы синтеза термостабильных W-содержащих растворов ГПК-x' отрабатываются.

Оптимальны ли конструкция опытной установки и условия ее эксплуатации?

Итоги опытных работ 2005—2006 годов свидетельствуют о том, что конструкция ОПУ далека от оптимальной и требует существенной модернизации. Действительно, абсолютно недопустимо использовать расходомеры и регуляторы расходов с некорректными пределами измерений. Необходим также расширитель Ia перед аппаратом 2.

Кроме того, следует предусмотреть возможность периодической промывки всей ОПУ, включая все ее узлы, контактировавшие с восстановленным катализатором ($Pd + H_m \Gamma \Pi K - x'$), окисленным раствором катализатора ($Pd + \Gamma \Pi K - x'$). Высокий редокспотенциал окисленного катализатора ($E_{\rm KaT} \approx 1,0\,$ В) позволит в течение $\approx 60\,$ мин возвратить в раствор бо́льшую часть металлического палладия, осевшего на стенках аппаратов ОПУ в виде зеркала.

Необходима также возможность автоматического отключения подачи α -бутилена при достижении катализатором в конце бутиленового реактора $E_{\rm кат} = 0.6\,$ В. Это позволит значительно уменьшить, а возможно, и вообще исключить «уход» палладия из восстановленного катализатора (Pd + $H_{\rm m}\Gamma\Pi K$ -7′). Для этого потребуется оборудовать электрохимическим потенциометром хвостовую часть реактора I, а на входе в этот реактор поставить исполнительный механизм для прекращения подачи бутилена.

Оптимальны ли времена пребывания катализатора (Pd + ГПК-х') в бутиленовом и воздушном реакторах?

Целевая реакция (1) — получение МЭК — происходит в бутиленовом реакторе. При этом съем МЭК (Y) в этом реакторе пропорционален окислительной емкости катализатора (OC) и его селективности (S):

$$Y = OC \times S. \tag{10}$$

Величину *ОС* можно выразить произведением $[\Gamma\Pi K-x'] \times \Delta m_1$, где Δm_1 — изменение степени восстановления $\Gamma\Pi K-x'$ в ходе реакции (1) [19].

Поскольку в отсутствие стабилизаторов палладия эта реакция протекает примерно с постоянной скоростью [11], съем МЭК пропорционален времени нахождения катализатора в бутиленовом реакторе (τ_1) . Данное утверждение справедливо при условии, что значение m не превышает 6,7, поскольку при m > 6,7 значение $E_{\Gamma\Pi K-x'/H_m\Gamma\Pi K-x'}$, становится меньше значения $E_{{
m Pd}_2^{2+}/{
m Pd}_{
m Pd}^0}$, и реакция (1) прекращается. Фактически в ходе опытных работ время τ_1 составило 13—15 мин, что было вполне приемлемым. Для создания экономичной технологии МЭК-процесса необходимо также учесть времена нахождения катализатора в пленочном испарителе (тисп) и воздушном реакторе (τ₂). Мы полагаем, что разрабатываемый МЭК-процесс можно считать экономичным и рентабельным, если сумма времен $\tau_{\Sigma} = \tau_1 + \tau_{\text{исп}} + \tau_2$ не превысит 60 мин.

Особенности кинетики реакций (1) и (2) позволяют предвидеть возможности сокращения времен τ_1 и τ_2 . Так как скорость реакции (1) относительно постоянна, то сокращение времени τ_1 сразу привело бы к сокращению съема МЭК. С другой стороны, скорость регенерации катализатора по реакции (2) существенно уменьшается во времени [12, 13]. Поэтому при сокращении τ_2 съем МЭК уменьшился бы не столь сильно. Вполне вероятно, что подбор уменьшенного значения τ_2 позволит даже увеличить съем продукта за более короткое общее время τ_{Σ} . Результат вариации времен τ_1 и τ_2 можно исследовать методом математического моделирования.

Снижения τ_2 можно достичь и за счет повышения гидролитической устойчивости растворов ГПК-x', т.е. путем модификации их состава. Одновременно это позволило бы работать с ними при температурах выше 170 °C без образования ванадийсодержащих осадков в ходе регенерации катализатора. Здесь очевидны две возможности:

- 1. Замена части катионов H^+ в растворе $\Gamma\Pi K$ -7′ $(H_{12}P_3Mo_{18}V_7O_{85})$ на катионы Li^+ , Na^+ или Mg^{2+} . Однако это привело бы к увеличению рН раствора и как следствие к снижению исходной величины $E_{\rm кат}$ перед реакцией (1). Окислительная емкость катализатора OC, а следовательно, и съем $M\ni K$ при этом уменьшились бы, что крайне нежелательно.
- 2. Модификация раствора ГПК-7' путем снижения мольного соотношения V: P приблизительно до 2, что нетрудно сделать, увеличив концентрацию избыточной H_3PO_4 в растворе ГПК-x' (см. равновесие (4)). В нашем патенте [24] соотношение V: P в катализаторе уже составило 1,75; вероятно, оно может быть еще ниже. В любом случае все возможности снижения τ_2 целесообразно проверять методом математического моделирования.

Заключение

Опытные работы 2005—2006 гг. по испытанию МЭК-процесса показали, что состав использованного гомогенного бесхлоридного катализатора $(Pd + \Gamma \Pi K-7')$ близок к оптимальному. В качестве катализатора использовали раствор модифицированной высокованадиевой Мо-V-фосфорной ГПК-х' некеггиновского брутто-состава с избыточным содержанием Н₃РО₄. За счет этого катализатор имел повышенную кислотность (pH $_0 \approx 0$), положительно сказывавшуюся на устойчивости катиона VO₂⁺ в растворе катализатора. Кроме того, более сильная кислотность раствора катализатора обеспечивала и бо́льшее знаяение $E_{\rm кат}$ по сравнению с растворами ГПК-х кеггиновской структуры. Последнее приводит к увеличению устойчивости гомогенных соединений палладия в восстановленном растворе катализатора, что особенно важно при работе без стабилизатора палладия.

Главным достоинством всех бесхлоридных катализаторов синтеза МЭК (Pd + $\Gamma\Pi K$ -x') является их высокая селективность в отношении целевого продукта (98 %), достигнутая в лабораторных исследованиях. К сожалению, выявленные недостатки в реализации технологической схемы ОПУ не позволили подтвердить такую селективность в опытных работах. К недостаткам реализованной технологической схемы прежде всего относится неправильный выбор пределов измерения расходомера и регулятора расходов α -бутилена. Это создало условия для постоянного перевосстановления раствора катализатора в бутиленовом реакторе с выпадением

металлического Pd из раствора. Важно отметить, что для сохранения гомогенности катализатора в исходных данных на проектирование ОПУ были четко заданы ограничения по степени его восстановления (т.е. по значению $E_{\rm kat}$), которые были нарушены.

Имеются и другие недочеты в конструкции ОПУ, которые необходимо учесть перед проведением новых опытных работ.

В ходе работы ОПУ было отмечено постепенное образование ванадийсодержащих осадков в растворе катализатора (Pd + ГПК-7′). Их происхождение можно объяснить недостатками в организации режимов опытно-промышленных работ. В частности, регенерация катализатора в воздушном реакторе проводилась при 160—190 °С, в то время как предельной гарантированной температурой устойчивости раствора ГПК-7′ являются 170 °С. В этой связи перспективными для создания гомогенных катализаторов синтеза МЭК могут оказаться растворы более термостойких модифицированных Мо-V-Р ГПК-х′, в которых часть Мо замещена на W.

Опытные работы на обсуждаемой ОПУ не позволили МЭК-процессу на бесхлоридном катализаторе (Pd + $\Gamma\Pi$ K-7') выйти на проектную мощность (250 кг МЭК/сут). Однако в ходе этих работ было показано главное: растворы модифицированных ГПК-х' перспективны для создания промышленных катализаторов синтеза МЭК. Модифицированные растворы ГПК-х' обладают не только повышенной окислительной емкостью по сравнению с растворами ГПК-х структуры Кеггина, но и повышенной термической стабильностью, которая позволяет быстро регенерировать катализаторы при достаточно высоких температурах. Поскольку стадия регенерации катализатора кислородом является определяющей для всего процесса в целом, возможность ее ускорения открывает перспективу создания реально экономичного МЭК-процесса.

Главным условием успешного использования гомогенных катализаторов на основе модифицированных ГПК-x' является бережное отношение к ним. Являясь высококонцентрированными растворами неорганических соединений (до 50 % твердого вещества по массе), эти растворы не терпят концентрирования выше 0,3 М и перегревов. Для обеспечения устойчивости палладия в катализаторах (Pd + Γ ПК-x') недопустимо их перевосстановление, т.е. снижение $E_{\rm кат}$ ниже 0,6 В. При соблюдении этих условий растворы катализаторов (Pd + Γ ПК-x') могут

работать стабильно, оставаясь гомогенными и сохраняя свою активность длительное время.

Опытно-промышленные работы по новому МЭК-процессу, проведенные в 2005—2006 гг., позволят избежать ошибок при разработке технологий окисления и других соединений в присутствии растворов Mo-V-P гетерополикислот.

Литература

- 1. *Жижина Е.Г., Одяков В.Ф., Балашов А.Л., Матвеев К.И.* // Катализ в промышленности. 2005. № 5. С. 28.
- Smidt J, Hafner W., Jira R., Sedlmeier I., Sieber R., Rüttinger R., Kojer H. // Angew. Chemie. 1959, Bd. 71, Nr. 5.
 S. 176.
- 3. *Козик Б.Л., Пестриков С.В., Савельев А.П.* // Химия и технология топлив и масел. 1964. № 11. С. 11.
- 4. *Кожевников И.В., Матвеев К.И.* // Успехи химии. 1982. T. 51. № 11. С. 1875.
- 5. *Жижина Е.Г., Одяков В.Ф., Симонова М.В.* // Кинетика и катализ. 2008. Т. 49. № 6. С. 814.
- А.с. 822417 СССР. Катализатор для окисления этилена в ацетальдегид или бутилена в метилэтилкетон / Одяков В.Ф., Матвеев К.И., Городецкая Т.А., Пай З.П., Каранда Л.Н., Степанова Л.А., Нелин А.Г., Мушенко Д.В., Чернышкова Ф.А., Гвоздовский Г.Н. 1979.
- 7. А.с. 1669109 СССР. Катализатор для окисления *н*-бутилена в метилэтилкетон и способ его приготовления / Матвеев К.И., Одяков В.Ф., Жижина Е.Г., Моторный Ю.А., Ланге С.А. 1989.
- Одяков В.Ф. // Журнал неорганической химии. 1999.
 Т. 44. № 2. С. 220.
- 9. *Одяков В.Ф., Жижина Е.Г., Матвеев К.И.* // Катализ в промышленности. 2007. № 4. С. 19.
- 10. Zhizhina E.G., Simonova M.V., Odyakov V.F., Matveev K.I. // React. Kinet. Catal. Letters. 2003. Vol. 80. № 1. P. 171.

- 11. *Zhizhina E.G., Simonova M.V., Odyakov V.F., Matveev K.I.* // Applied Catalysis, A: General. 2007. Vol. 319. № 1. P. 91.
- 12. *Жижина Е.Г., Симонова М.В., Одяков В.Ф., Матвеев К.И.* // Катализ в промышленности. 2005. № 2. С. 17.
- 13. *Жижина Е.Г., Одяков В.Ф., Симонова М.В., Матвеев К.И.* // Кинетика и катализ. 2005. Т. 46. № 3. С. 380.
- 14. *Odyakov V.F., Zhizhina E.G., Matveev K.I.* // J. Molec. Catal. A. Chem. 2000. Vol. 158. № 1 (Special Issue). P. 453.
- 15. *Максимовская Р.И., Федотов М.А., Мастихин В.М., Кузнецова Л.И., Матвеев К.И.* // Доклады АН СССР. 1978. Т. 240. № 1. С. 117.
- 16. Одяков В.Ф., Жижина Е.Г., Максимовская Р.И., Матвеев К.И. // Кинетика и катализ. 1995. Т. 36. № 5. С. 795.
- 17. Пат. 2230612 РФ. Катализатор и способ получения метилэтилкетона / Матвеев К.И., Жижина Е.Г., Одяков В.Ф. 2004.
- 18. *Odyakov V.F., Zhizhina E.G., Maksimovskaya R.I.* // Applied Catalysis A: General. 2008. Vol. 342. № 1. P. 126.
- 19. *Zhizhina E.G., Odyakov V.F.* // Applied Catalysis, A: General. 2009. Vol. 358. № 2. P. 254.
- 20. *Post K., Robins R.G.* // Electrochimica Acta. 1976. Vol. 21. P. 401.
- Новый справочник химика и технолога. Электродные процессы. Химическая кинетика и диффузия. Коллоидная химия. — Спб.: НПО «Профессионал», 2004. С. 9.
- Standard Potentials in Aqueous Solution / Ed. by A.J. Bard,
 R. Parsons, J. Jordan Marcel Dekker, Inc.: New York & Basel, 1985. P. 343.
- 23. *Жижина Е.Г., Одяков В.Ф., Матвеев К.И.* // Журнал прикладной химии. 2000. Т. 73. № 5. С. 777.
- 24. Пат. 2275960 РФ. Катализатор и способ получения метилэтилкетона / Матвеев К.И., Одяков В.Ф., Жижина Е.Г., Балашов А.Л., Федотов А.В. 2006.